

# Stabilità dell'equilibrio superiore del pendolo

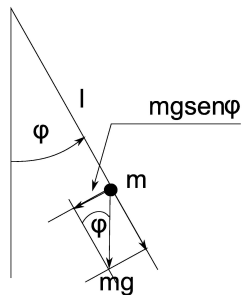
Laszlo Csizmadia

Istituto Bolyai, Università di Szeged

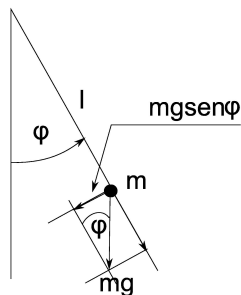
Attività di ricerca svolta in collaborazione con il Prof. Laszlo Hatvani

Politecnico di Bari, 03 novembre 2011

# Pendolo semplice



# Pendolo semplice

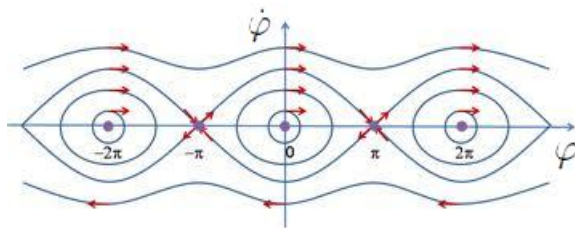


$l$ : la lunghezza di pendolo  
 $g$ : la costante gravitazionale

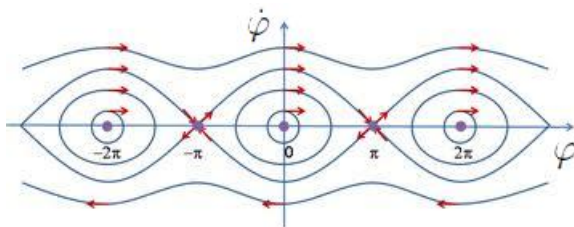
$\varphi$ : l'angolo tra la direzione verticale e il filo del pendolo

$$ml\ddot{\varphi} = -mg \sin \varphi \quad \rightsquigarrow \quad l\ddot{\varphi} = -g\varphi$$

# Equilibri

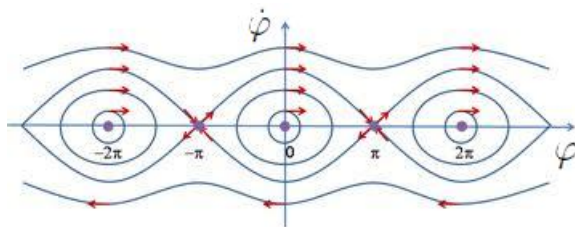


# Equilibri



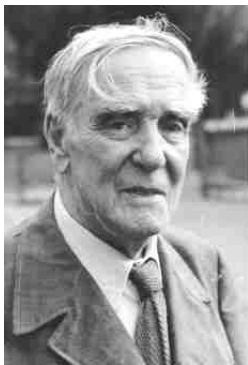
- $(\varphi, \dot{\varphi}) = (0, 0)$  - stabile

# Equilibri



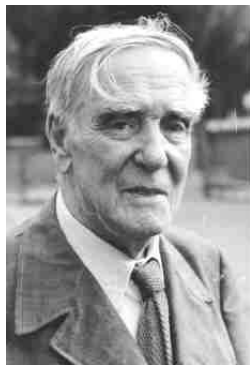
- $(\varphi, \dot{\varphi}) = (0, 0)$  - stabile
- $(\varphi, \dot{\varphi}) = (\pi, 0)$  - instabile

# Pyotr Leonidovich Kapitsa, 1894-1984



Premio Nobel, Fisica, 1978.

## Pyotr Leonidovich Kapitsa, 1894-1984



Premio Nobel, Fisica, 1978.

1911: „L'equilibrio superiore del pendolo é stabile se il punto di sospensione oscilla verticalmente con frequenza abbastanza alta."



## L'accelerazione

$$T_1 > 0, T_2 > 0, A_1 > 0, A_2 > g, A_1 T_1 = A_2 T_2$$

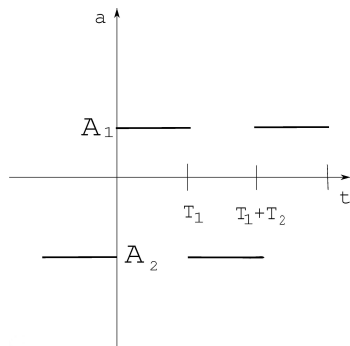
$$a(t) = \begin{cases} A_1, & \text{se } k(T_1 + T_2) \leq t < (k+1)T_1 + kT_2; \\ -A_2, & \text{se } (k+1)T_1 + kT_2 \leq t < (k+1)(T_1 + T_2), \quad k \in \mathbb{Z}_+ \end{cases}$$

## L'accelerazione

$$T_1 > 0, T_2 > 0, A_1 > 0, A_2 > g, A_1 T_1 = A_2 T_2$$

$$a(t) = \begin{cases} A_1, & \text{se } k(T_1 + T_2) \leq t < (k+1)T_1 + kT_2; \\ -A_2, & \text{se } (k+1)T_1 + kT_2 \leq t < (k+1)(T_1 + T_2), \quad k \in \mathbb{Z}_+ \end{cases}$$

Periodo:  $T = T_1 + T_2$



## L'equazione del moto

$$x = \pi - \varphi \rightsquigarrow \ddot{x} = -\ddot{\varphi}; \quad \sin x = \sin \varphi$$

# L'equazione del moto

$$x = \pi - \varphi \rightsquigarrow \ddot{x} = -\ddot{\varphi}; \quad \sin x = \sin \varphi$$

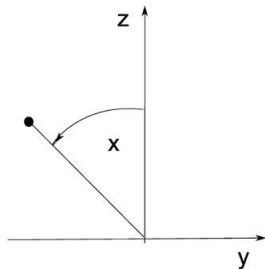
Il modello del pendolo vibrato

$$\ddot{x} - \frac{g + a(t)}{l} x = 0$$

$l$ : la lunghezza del pendolo

$g$ : la costante gravitazionale

$x$ : l'angolo tra la direzione verticale e il filo del pendolo



# Obiettivi

- condizione sufficiente a garantire la stabilità dell'equilibrio superiore

# Obiettivi

- condizione sufficiente a garantire la stabilità dell'equilibrio superiore
- al caso classico  $T_1 = T_2, A_1 = A_2$

# Obiettivi

- condizione sufficiente a garantire la stabilità dell'equilibrio superiore
- al caso classico  $T_1 = T_2, A_1 = A_2$
- disegneremo una mappa globale della stabilità

# Obiettivi

- condizione sufficiente a garantire la stabilità dell'equilibrio superiore
- al caso classico  $T_1 = T_2, A_1 = A_2$
- disegneremo una mappa globale della stabilità
- animazione



# Definizioni

$$\dot{x} = A(t)x, \quad A \in M(2, \mathbb{R}), \quad A(t + T) = A(t), \quad \text{Tr } A = 0$$

# Definizioni

$$\dot{x} = A(t)x, \quad A \in M(2, \mathbb{R}), \quad A(t + T) = A(t), \quad \text{Tr } A = 0$$

## Definizione

*Un sistema lineare,  $\dot{x} = A(t)x$ , é detto stabile se tutte le soluzioni sono limitate in  $[0; +\infty)$ .*

# Definizioni

$$\dot{x} = A(t)x, \quad A \in M(2, \mathbb{R}), \quad A(t+T) = A(t), \quad \text{Tr } A = 0$$

## Definizione

*Un sistema lineare,  $\dot{x} = A(t)x$ , é detto stabile se tutte le soluzioni sono limitate in  $[0; +\infty)$ .*

## Definizione

*Un sistema lineare é detto stabile forte quando é stabile ed esiste  $\varepsilon > 0$  tale che l'equazione  $\dot{x} = B(t)x$  sia stabile supposto che  $|B(t) - A(t)| < \varepsilon$  per ogni  $t \geq 0$ .*

# Condizione

$X(t)$  : matrice fondamentale  $X(0) = I, X(T) = C$  : matrice di monodromia

# Condizione

$X(t)$  : matrice fondamentale  $X(0) = I, X(T) = C$  : matrice di monodromia

## Teorema

*Una matrice  $C$  con  $\det C = 1$  fa ruotare tutti i vettori in  $\mathbb{R}^2$  di un angolo  $\alpha \not\equiv 0 \pmod{\pi}$  se e solo se il sistema lineare é stabile forte.*

Stabilitá forte  $\Leftrightarrow \alpha \not\equiv 0 \pmod{\pi}$

# Condizione

$X(t)$  : matrice fondamentale  $X(0) = I, X(T) = C$  : matrice di monodromia

## Teorema

*Una matrice  $C$  con  $\det C = 1$  fa ruotare tutti i vettori in  $\mathbb{R}^2$  di un angolo  $\alpha \not\equiv 0 \pmod{\pi}$  se e solo se il sistema lineare é stabile forte.*

Stabilità forte  $\Leftrightarrow \alpha \not\equiv 0 \pmod{\pi}$

In particolare: Stabilità forte  $\Leftrightarrow -\pi < \alpha < 0$

## Spazio delle fasi

$$\ddot{x} - \frac{g + a(t)}{l}x = 0$$

$$a(t) = \begin{cases} A_1, & \text{se } 0 \leq t < T_1; \\ -A_2, & \text{se } T_1 \leq t < T_1 + T_2 = T \end{cases}$$

## Spazio delle fasi

$$\ddot{x} - \frac{g + a(t)}{l} x = 0$$

$$a(t) = \begin{cases} A_1, & \text{se } 0 \leq t < T_1; \\ -A_2, & \text{se } T_1 \leq t < T_1 + T_2 = T \end{cases}$$

$$0 \leq t < T_1$$

$$(H) \quad \ddot{x} - \frac{g + A_1}{l} x = 0$$



## Spazio delle fasi

$$\ddot{x} - \frac{g + a(t)}{l} x = 0$$

$$a(t) = \begin{cases} A_1, & \text{se } 0 \leq t < T_1; \\ -A_2, & \text{se } T_1 \leq t < T_1 + T_2 = T \end{cases}$$

$$(H) \quad \ddot{x} - \frac{g + A_1}{l} x = 0 \quad 0 \leq t < T_1$$

$$(E) \quad \ddot{x} + \frac{A_2 - g}{l} x = 0 \quad T_1 \leq t < T_1 + T_2$$

## Spazio delle fasi

$$\omega_1 = \sqrt{\frac{g+A_1}{l}}$$

$$(H) \quad \ddot{x} - \omega_1^2 x = 0$$

# Spazio delle fasi

$$\omega_1 = \sqrt{\frac{g+A_1}{l}}$$

$$(H) \quad \ddot{x} - \omega_1^2 x = 0$$

$$y = \frac{\dot{x}}{\omega_1}$$

$$(H) \quad \begin{cases} \dot{x} = \omega_1 y, \\ \dot{y} = \omega_1 x \end{cases}$$

## Spazio delle fasi

$$\omega_1 = \sqrt{\frac{g+A_1}{l}}$$

$$\omega_2 = \sqrt{\frac{A_2-g}{l}}$$

$$(H) \quad \ddot{x} - \omega_1^2 x = 0$$

$$(E) \quad \ddot{x} + \omega_2^2 x = 0$$

$$y = \frac{\dot{x}}{\omega_1}$$

$$y = \frac{\dot{x}}{\omega_2}$$

$$(H) \quad \begin{cases} \dot{x} = \omega_1 y, \\ \dot{y} = \omega_1 x \end{cases}$$

$$(E) \quad \begin{cases} \dot{x} = \omega_2 y, \\ \dot{y} = -\omega_2 x \end{cases}$$

# Spazio delle fasi

$$x = r \cos \varphi, \quad y = r \sin \varphi$$

# Spazio delle fasi

$$x = r \cos \varphi, \quad y = r \sin \varphi$$

$$0 \leq t < T_1$$

$$(H) \quad \begin{cases} \dot{r} = \omega_1 \sin 2\varphi \\ \dot{\varphi} = \omega_1 \cos 2\varphi \end{cases}$$

$$T_1 \leq t < T_1 + T_2$$

$$(E) \quad \begin{cases} \dot{r} = 0 \\ \dot{\varphi} = -\omega_2 \end{cases}$$

## Spazio delle fasi

$$x = r \cos \varphi, \quad y = r \sin \varphi$$

$$0 \leq t < T_1$$

$$T_1 \leq t < T_1 + T_2$$

$$(H) \quad \begin{cases} \dot{r} = \omega_1 \sin 2\varphi \\ \dot{\varphi} = \omega_1 \cos 2\varphi \end{cases}$$

$$(E) \quad \begin{cases} \dot{r} = 0 \\ \dot{\varphi} = -\omega_2 \end{cases}$$

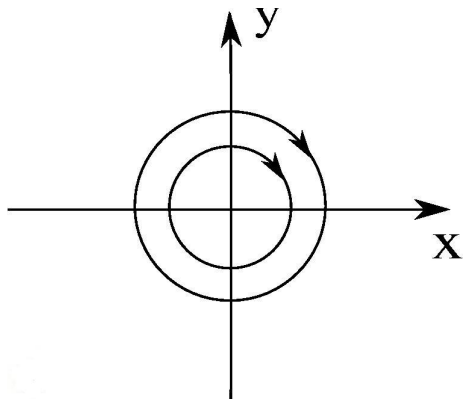
(I.)

Le traiettorie di (E): rotazione in senso orario, velocità angolare:  $-\omega_2$

L'angolo:

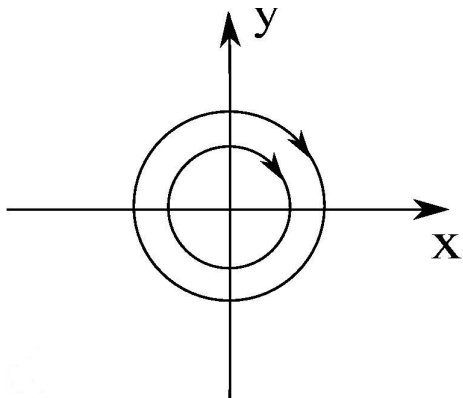
$$\beta_E = -\omega_2 T_2 \quad (T_1 \leq t < T_1 + T_2)$$

## Rotazione ellittica

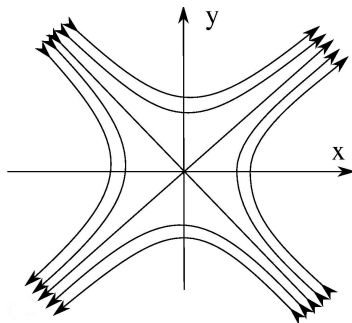




## Rotazione ellittica



## Rotazione iperbolica



# Spazio delle fasi

(II.)

Fase di flusso di (H): rotazione iperbolica

L'angolo?

$$\dot{\varphi} = \omega_1 \cos 2\varphi$$

$$\varphi(t) = \arctan \left( \frac{e^{2\omega_1(t-t_0)} \cdot \frac{1 + \tan \varphi_0}{1 - \tan \varphi_0} - 1}{e^{2\omega_1(t-t_0)} \cdot \frac{1 + \tan \varphi_0}{1 - \tan \varphi_0} + 1} \right)$$

# Spazio delle fasi

(II.)

Fase di flusso di (H): rotazione iperbolica

L'angolo?

$$\dot{\varphi} = \omega_1 \cos 2\varphi$$

$$\varphi(t) = \arctan \left( \frac{e^{2\omega_1(t-t_0)} \cdot \frac{1 + \tan \varphi_0}{1 - \tan \varphi_0} - 1}{e^{2\omega_1(t-t_0)} \cdot \frac{1 + \tan \varphi_0}{1 - \tan \varphi_0} + 1} \right)$$

## Lemma

Indicando  $\beta_H(z; t_0) = \varphi(t_0 + T_1) - \varphi(t_0)$  l'angolo di rotazione iperbolica del vettore  $z = (x; y)$  in  $[t_0; t_0 + T_1]$ , si ha

$$|\beta_H(z; t_0)| \leq 2 \arctan \frac{e^{\omega_1 T_1} - 1}{e^{\omega_1 T_1} + 1} < \frac{\pi}{2}.$$

# Spazio delle fasi

(III.)

$$0 \leq t < T_1$$

$$T_1 \leq t < T_1 + T_2$$

$$(H) \quad \ddot{x} - \omega_1^2 x = 0; \quad y = \frac{\dot{x}}{\omega_1}$$

$$(E) \quad \ddot{x} + \omega_2^2 x = 0; \quad y = \frac{\dot{x}}{\omega_2}$$

# Spazio delle fasi

(III.)

$$0 \leq t < T_1$$

$$T_1 \leq t < T_1 + T_2$$

$$(H) \quad \ddot{x} - \omega_1^2 x = 0; \quad y = \frac{\dot{x}}{\omega_1}$$

$$(E) \quad \ddot{x} + \omega_2^2 x = 0; \quad y = \frac{\dot{x}}{\omega_2}$$

$$\dot{x} \text{ continua in } [0; +\infty) \Rightarrow \omega_1 y(T_1 - 0) = \omega_2 y(T_1 + 0)$$

# Spazio delle fasi

(III.)

$$0 \leq t < T_1$$

$$T_1 \leq t < T_1 + T_2$$

$$(H) \quad \ddot{x} - \omega_1^2 x = 0; \quad y = \frac{\dot{x}}{\omega_1}$$

$$(E) \quad \ddot{x} + \omega_2^2 x = 0; \quad y = \frac{\dot{x}}{\omega_2}$$

$$\dot{x} \text{ continua in } [0; +\infty) \Rightarrow \omega_1 y(T_1 - 0) = \omega_2 y(T_1 + 0)$$

$$y(T_1) = y(T_1 + 0) = \frac{\omega_1}{\omega_2} y(T_1 - 0);$$

# Spazio delle fasi

(III.)

$$0 \leq t < T_1$$

$$T_1 \leq t < T_1 + T_2$$

$$(H) \quad \ddot{x} - \omega_1^2 x = 0; \quad y = \frac{\dot{x}}{\omega_1}$$

$$(E) \quad \ddot{x} + \omega_2^2 x = 0; \quad y = \frac{\dot{x}}{\omega_2}$$

$$\dot{x} \text{ continua in } [0; +\infty) \Rightarrow \omega_1 y(T_1 - 0) = \omega_2 y(T_1 + 0)$$

$$y(T_1) = y(T_1 + 0) = \frac{\omega_1}{\omega_2} y(T_1 - 0); \quad q = \frac{\omega_1}{\omega_2}$$

# Spazio delle fasi

(III.)

$$0 \leq t < T_1$$

$$T_1 \leq t < T_1 + T_2$$

$$(H) \quad \ddot{x} - \omega_1^2 x = 0; \quad y = \frac{\dot{x}}{\omega_1}$$

$$(E) \quad \ddot{x} + \omega_2^2 x = 0; \quad y = \frac{\dot{x}}{\omega_2}$$

$$\dot{x} \text{ continua in } [0; +\infty) \Rightarrow \omega_1 y(T_1 - 0) = \omega_2 y(T_1 + 0)$$

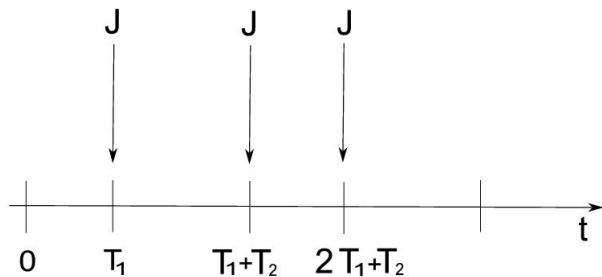
$$y(T_1) = y(T_1 + 0) = \frac{\omega_1}{\omega_2} y(T_1 - 0); \quad q = \frac{\omega_1}{\omega_2}$$

Contrazione:  $q < 1$

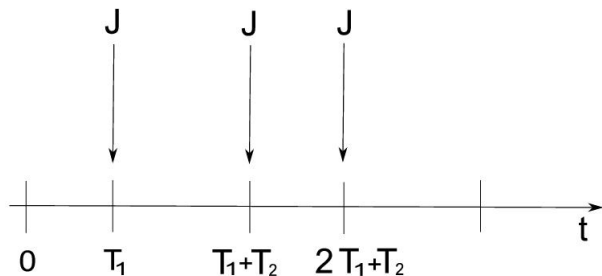
Dilatazione:  $q > 1$



# Salti



# Salti



Angolo:

$$|\beta_J| \leq \left| \arctan \frac{1}{\sqrt{q}} - \arctan \sqrt{q} \right|$$

# Risultato principale

## Teorema

Sia  $\omega_1 = \sqrt{\frac{g + A_1}{l}}$ ,  $\omega_2 = \sqrt{\frac{A_2 - g}{l}}$ ,  $q = \frac{\omega_1}{\omega_2} \neq 1$ , e

$$a(t) = \begin{cases} A_1, & \text{se } k(T_1 + T_2) \leq t < (k+1)T_1 + kT_2; \\ -A_2, & \text{se } (k+1)T_1 + kT_2 \leq t < (k+1)(T_1 + T_2), k \in \mathbb{Z}_+. \end{cases}$$

L'equilibrio,  $(0, 0)$ , dell'equazione del moto,  $\ddot{x} - \frac{g + a(t)}{l}x = 0$ , é stabile forte, se:

- $\omega_2 T_2 < \pi$  ;
- $2 \arctan \frac{e^{\omega_1 T_1} - 1}{e^{\omega_1 T_1} + 1} + 2 \left| \arctan \frac{1}{\sqrt{q}} - \arctan \sqrt{q} \right| < \min\{\omega_2 T_2; \pi - \omega_2 T_2\}$  .

$$\omega_1 = \sqrt{\frac{g + A_1}{l}}, \quad \omega_2 = \sqrt{\frac{A_2 - g}{l}}, \quad q = \frac{\omega_1}{\omega_2} \neq 1$$

$$A_2 \gg g \rightsquigarrow g = 0$$

$$T_1 = T_2, \quad A_1 = A_2 \rightsquigarrow \omega_1 = \omega_2 = \omega$$

$$\omega_1 = \sqrt{\frac{g + A_1}{l}}, \quad \omega_2 = \sqrt{\frac{A_2 - g}{l}}, \quad q = \frac{\omega_1}{\omega_2} \neq 1$$

$$A_2 \gg g \rightsquigarrow g = 0$$

$$T_1 = T_2, \quad A_1 = A_2 \rightsquigarrow \omega_1 = \omega_2 = \omega$$

Loro risultato:  $-\pi < -\omega \Rightarrow$  Stabilità forte

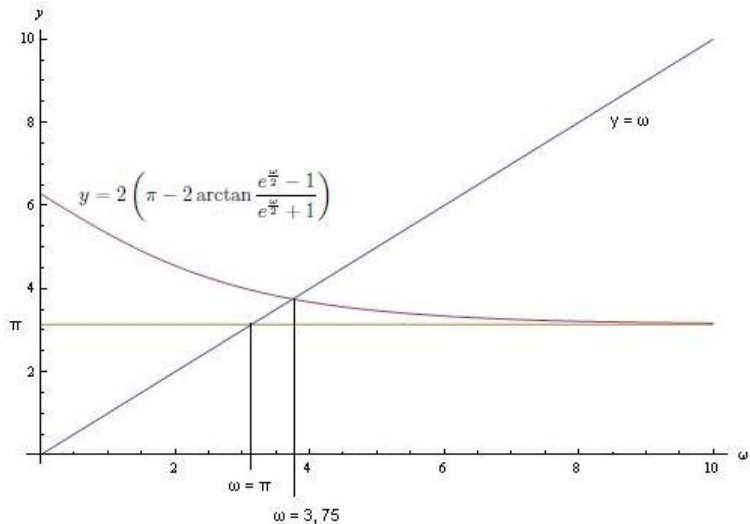
$$\omega_1 = \sqrt{\frac{g + A_1}{l}}, \quad \omega_2 = \sqrt{\frac{A_2 - g}{l}}, \quad q = \frac{\omega_1}{\omega_2} \neq 1$$

$$A_2 \gg g \rightsquigarrow g = 0$$

$$T_1 = T_2, \quad A_1 = A_2 \rightsquigarrow \omega_1 = \omega_2 = \omega$$

Loro risultato:  $-\pi < -\omega \Rightarrow$  Stabilità forte

Nostro risultato:  $-\pi < -\frac{\omega}{2} - 2 \arctan \frac{e^{\frac{3}{2}\varepsilon} - 1}{e^{\frac{3}{2}\varepsilon} + 1} \Rightarrow$  Stabilità forte



$$T_1 = T_2; A_1 = A_2 = A; A \gg g, D \ll l$$



$$T_1 = T_2; A_1 = A_2 = A; A \gg g, D \ll l$$

$$\varepsilon = \sqrt{\frac{D}{l}}, \mu = \sqrt{\frac{g}{A}};$$

$$T_1 = T_2; A_1 = A_2 = A; A \gg g, D \ll l$$

$$\varepsilon = \sqrt{\frac{D}{l}}, \mu = \sqrt{\frac{g}{A}}; \varepsilon \ll 1, \mu \ll 1$$

$$T_1 = T_2; A_1 = A_2 = A; A \gg g, D \ll l$$

$$\varepsilon = \sqrt{\frac{D}{l}}, \mu = \sqrt{\frac{g}{A}}; \varepsilon \ll 1, \mu \ll 1$$

Risultato di Arnold:  $\mu < \frac{\sqrt{2}\varepsilon}{\sqrt{3}} \Rightarrow$  Stabilità forte

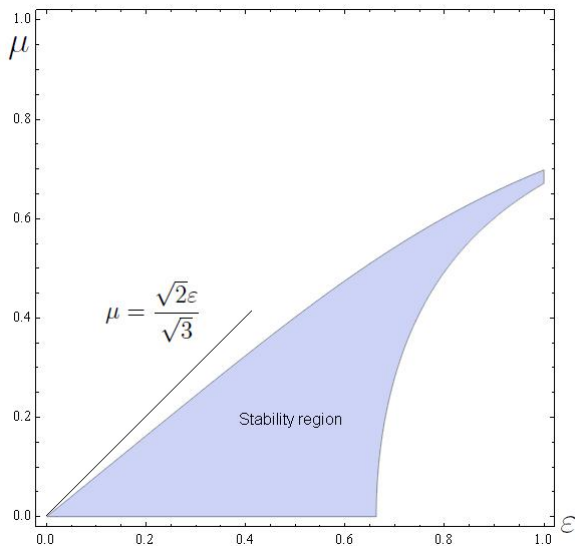
$$T_1 = T_2; A_1 = A_2 = A; A \gg g, D \ll l$$

$$\varepsilon = \sqrt{\frac{D}{l}}, \mu = \sqrt{\frac{g}{A}}; \varepsilon \ll 1, \mu \ll 1$$

Risultato di Arnold:  $\mu < \frac{\sqrt{2}\varepsilon}{\sqrt{3}} \Rightarrow$  Stabilità forte

La mappa di stabilità é vicino all'origine.

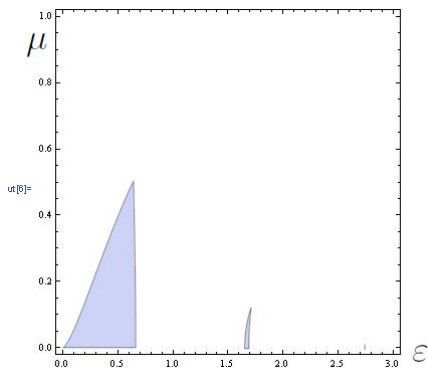
# Interpretazione geometrica del risultato di Arnold



# Mappa di stabilità

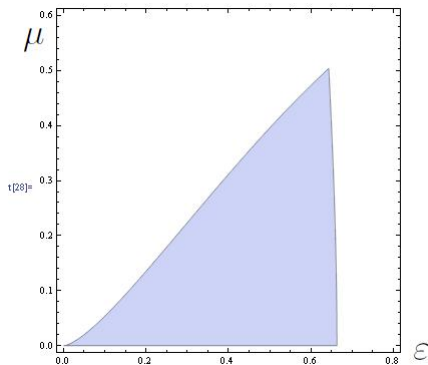
$$A > g \Rightarrow \varepsilon \text{ arbitrario}, \mu < 1$$

Mappa globale di stabilità,  $0 < \varepsilon < 3$



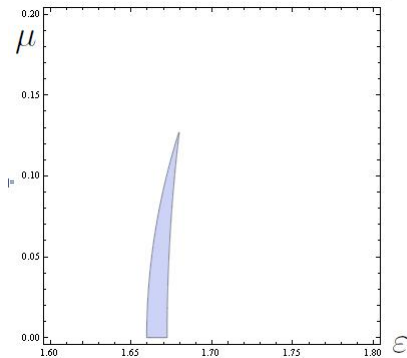
# Mappa di stabilità

$$0 < \varepsilon < 1$$



# Mappa di stabilità

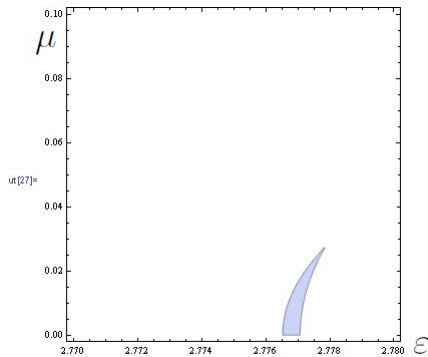
$$1 < \varepsilon < 2$$





# Mappa di stabilità

$$2 < \varepsilon < 3$$



Grazie per la Vostra cortese attenzione!